

## 自動車排気による大気汚染の研究 京都・大阪における自動車の走行 modeについて

京都大学工学部 正員 庄司光, 正員 山本剛夫, 正員 西田耕之助  
学生員 石川義紀, 学生員 小松正幹

自動車排気による都市大気の汚染は年々著しくなっており、わが国においても 1965 年より排気中の一酸化炭素について規制がされている。この規制の test cycle としては、4 mode cycle などが提案されているが、実際の都市地域内における車の driving pattern に関する知見は、極めて不十分な状態である。そこで本研究では、自動車排気中の有害成分による大気汚染の予測および排出規制のテスト基準の設定に必要な基礎資料を得ることを目的とした一連の研究における一段階として、京都・大阪市内での車の走行 mode について検討した。

前報では、京都市内の中心部で実験車を走行させ、タコグラフにより記録した driving pattern から、マルコフ連鎖の理論を用いて解析した結果、市内中心部の最も平均的な driving cycle として 6 mode cycle を得た。今回は、京都市内の中心部周辺および大阪市内での比較的交通量の大きい路線について走行実験を行なった。driving mode の速度条件について、相対出現頻度、経過時間を測定し、最も期待される driving cycle の mode 数を求めた結果を、京都市内周辺部について要約すると次のとおりである。

(1) 実測による driving mode の時間比は平均して idle 23.2 %, acceleration 27.6 %, cruise 28.8 %, deceleration 20.4 % となり、市内中心部における値と比較して、idle が減少し、acceleration および deceleration が増加している。また合計 224 回の driving cycle ( idle 224, acceleration 469, cruise 423, deceleration 442 ) が記録され、1 cycle の平均所要時間は 85.4 秒と中心部の約 1.4 倍の値を示した。(2) 各 mode の速度条件についての相対頻度は表-1 に示すとおりで、中心部におけると同様、0 → 40 km/h acceleration, 40 km/h cruise, 40 → 0 km/h deceleration がそれぞれ最も大である。また中心部における結果と比較して、30 → 40 km/h acceleration, 40 → 30 km/h deceleration の相対頻度が著しく大きな値を示してい る。相対時間比も相対頻度と同様の傾向を示し、各速度条件の平均絶続時間は、中心部とほぼ同様の値を示した。(3) 連続した 2 つの driving mode の組み合せは合計 1558 で、それぞれの起る確率  $P_{ij}$  が全走行時間中は一定であるとするとき、遷移確率行列  $P$  は。

$$P = \begin{pmatrix} 0 & 1 & 0 & 0 \\ 0 & 0 & 0.725 & 0.275 \\ 0 & 0.260 & 0 & 0.740 \\ 0.507 & 0.305 & 0.188 & 0 \end{pmatrix}$$

表-1 走行 mode の相対頻度 (%)  
(太線以内は cruise, 太線以上は acc. 下は dec.)

初期速度 km/h	終速度 km/h	0	5	10	20	30	40	50
		1.7	7.0	6.8	9.8	17.4	5.1	
0	5	1.8	1.7	0.9	0.4	1.7	2.3	0.6
5	10	3.2	1.8	6.7	3.0	3.0	4.9	0.4
10	20	5.0	1.6	2.7	10.6	7.9	7.2	1.1
20	30	10.6	0.5	1.6	7.0	26.7	12.4	2.8
30	40	24.6	1.8	3.6	7.9	12.9	47.7	3.6
40	50	5.4	0.7	0.9	0.7	2.3	3.4	6.6

であらわされる。これから、idle (状態 1) からはじめて  $n$  step 目にはじめて idle があらわれる確率  $f_{ii}^{(n)}$  を  $n = 1$  から 16 までについて求めると、図-1 に示すとおりである。さらに理論平均再帰時間として  $\mu_1 = 6.953$  を得た。中心部における場合と比べて、 $P_{41}$  (deceleration から idle に移る確率) の減少と  $P_{42}$  (deceleration から acceleration に移る確率) の増加が著しい。その結果、 $f_{ii}^{(n)}$  の値は中心部と比べて  $n = 3, 4$  で激減し、 $n \geq 7$  で増加している。(4)理論平均再帰時間として 6.953 を得たことから、7 mode cycle について、可能な組み合せを作製し、実測による相対頻度と相対時間比にもとづいて検討を加えて各組み合せの最適 mode cycle を求めた。その結果を図-2 に示す。各速度条件の往復時間には実測平均値を用いた。これらの中で、A, C, D, E, F, G, J, K はすべて、相対頻度、相対時間比の最も高い速度条件 ( $0 \rightarrow 40 \text{ km/h}$  acceleration,  $40 \text{ km/h}$  cruise,  $40 \rightarrow 0 \text{ km/h}$  deceleration) のいずれかが欠けており、市内走行の driving cycle を代表するには不十分である。残りのもののうち、B は idle および相対頻度、相対時間比の最も高い速度条件のみで構成されている。これに対し、H および I はさらに Z 番目に相対頻度、時間比の大きさ  $11.30 \rightarrow 40 \text{ km/h}$  acceleration,  $30 \text{ km/h}$  cruise,  $40 \rightarrow 30 \text{ km/h}$  deceleration をも含んでおり、東都市中心部周辺の平均 driving cycle として最も合理的である。H と I は同一の速度条件から成りたっており、cycle の所要時間は 92.5 秒、mode の時間比は idle 21.4 %, acceleration 27.7 %, cruise 30.1 %, deceleration 20.9 % となり、実測による 1 cycle の平均所要時間および各 mode の時間比によく一致している。なお、大阪市内中心部での成績ならびに、シヤーシーダイナモテストによる排気ガス評価についても報告する。

図-1  $f_{ii}^{(n)}$  の分布

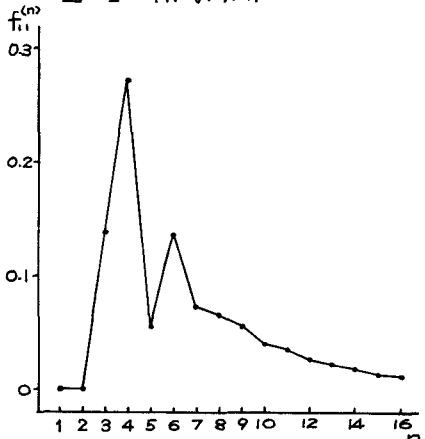


図-2 最適 mode cycles

